

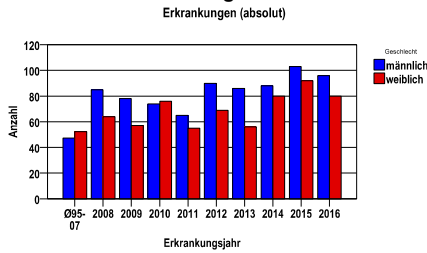
Plasmozytom C90

Durchschnittlich erfasste Erkrankungszahlen

Zeitraum	Geschlecht	N	rohe Rate	altersstandardisierte Rate (ESR)*	arithm. Alter Jahre	medianes Alter Jahre	Vergleich medianes Alter	Vergleichsquelle
2011 - 2015	männlich	432	12,0	6,7	69,7	71,7	72,0	RKI, BRD 2013-2014
	weiblich	352	9,3	4,3	71,4	72,7	74,0	

\* europastandardisierte Rate

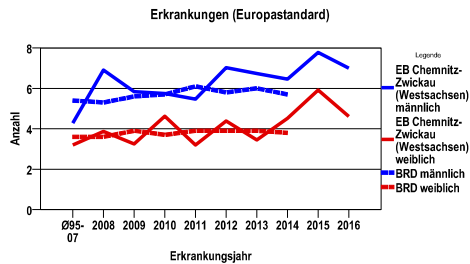
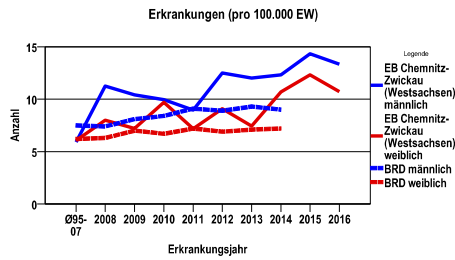
Anzahl Neuerkrankungen



Neuerkrankungsraten je 100.000 Einwohner

Jahr	absolut männlich	absolut weiblich	Rohe Rate männlich	Rohe Rate weiblich	Stand. Rate männlich	Stand. Rate weiblich
2016	96	80	13,3	10,7	7,0	4,6
2015	103	92	14,3	12,3	7,8	5,9
2014	88	80	12,3	10,7	6,4	4,5
2013	86	56	12,0	7,4	6,7	3,4
2012	90	69	12,5	9,1	7,0	4,4
2011	65	55	9,0	7,2	5,5	3,2
2010	74	76	10,0	9,7	5,7	4,6
2009	78	57	10,4	7,2	5,8	3,3
2008	85	64	11,2	8,0	6,9	3,9
Ø95-07	47	52	5,9	6,1	4,3	3,2

Stand. Rate = Europastandard



Vergleichswerte - - - - ; - - - -

RKI, BRD 2014, männlich 9,0

RKI, BRD 2014, weiblich 7,2

Vergleichswerte - - - - ; - - - -

RKI, BRD 2014, männlich 5,7

RKI, BRD 2014, weiblich 3,8

**EB Chemnitz-Zwickau (Westsachsen)**  
**Plasmozytom C90**

Chemnitz, Stadt, Erzgebirgskreis, Mittelsachsen, Vogtlandkreis, Zwickau

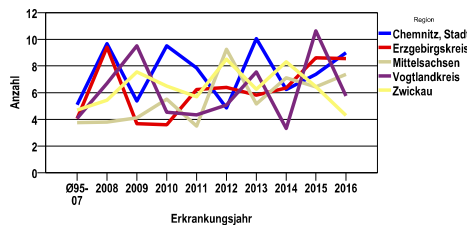
**Zahl der Neuerkrankungen nach Stadt-/Landkreisen**

EB Chemnitz-Zwickau (Westsachsen)	absolut männlich					absolut weiblich				
	2016	2015	2014	2013	2012	2016	2015	2014	2013	2012
Chemnitz, Stadt	19	16	13	20	10	16	14	14	13	11
Erzgebirgskreis	28	27	20	19	17	20	21	20	11	16
Mittelsachsen	23	18	20	15	25	12	19	9	13	18
Vogtlandkreis	12	23	9	14	11	15	14	17	9	10
Zwickau	14	19	26	18	27	17	24	20	10	14

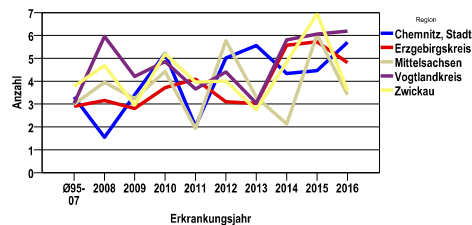
**Neuerkrankungsrate nach Stadt-/Landkreisen (n/100.000 Einwohner), altersstandardisiert (ESR)**

Region	Stand. Rate männlich					Stand. Rate weiblich				
	2016	2015	2014	2013	2012	2016	2015	2014	2013	2012
Chemnitz, Stadt	9,0	7,4	6,2	10,1	4,8	5,7	4,5	4,3	5,6	5,0
Erzgebirgskreis	8,5	8,6	6,4	5,8	6,4	4,8	5,7	5,6	3,0	3,1
Mittelsachsen	7,4	6,4	7,1	5,2	9,3	3,4	6,0	2,1	3,3	5,8
Vogtlandkreis	5,7	10,6	3,3	7,6	5,1	6,2	6,1	5,8	3,0	4,4
Zwickau	4,3	6,4	8,3	6,3	8,5	3,6	7,0	4,8	2,7	4,0

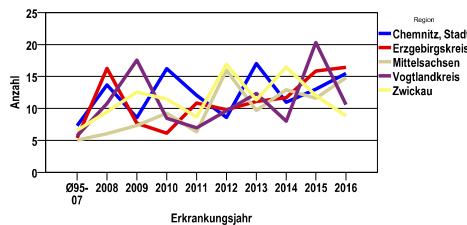
Erkrankungen (Europastandard männlich)



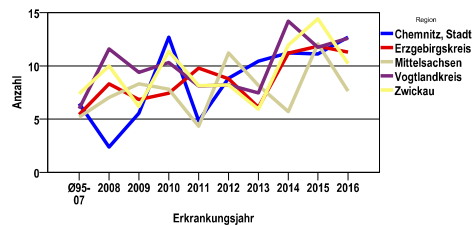
Erkrankungen (Europastandard weiblich)



Erkrankungen (pro 100.000 EW männlich)



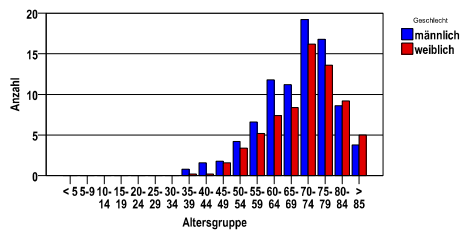
Erkrankungen (pro 100.000 EW weiblich)



Diagnosejahre
2011 bis 2015

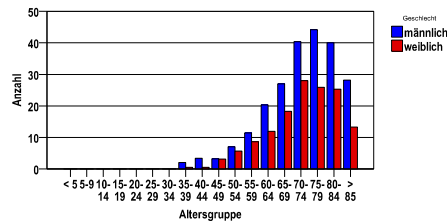
**Neuerkrankungen/Jahr nach Altersgruppen**

Neuerkrankungen pro Jahr



**Neuerkrankungen/100.000 EW nach Altersgruppen**

Neuerkrankungen je 100000EW



Vorlage vom: 29.08.2013

Programmversion vom: 24.11.2014

©SWSTUZ-GTDS-SPSS-Auswertungssystem

Datenstand vom: 08.02.2018

**Plasmozytom C90**

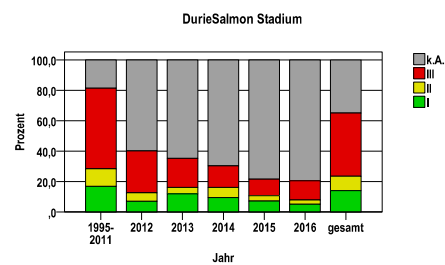
Diagnosejahre
2011 bis 2015

**Häufigkeit der Tumorerkrankungen nach der Lokalisation (ICD-O)**

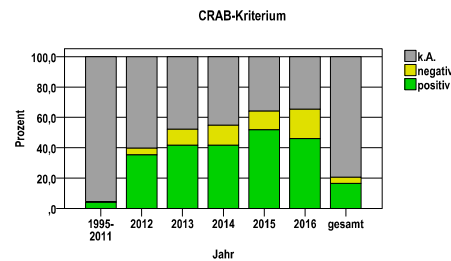
ICD-O	Bezeichnung	m	%m	w	%w	ges.	%ges.
C42	Hämatopoetisches und retikuloendotheliales System	412	95,4	346	98,3	758	96,7
C41	Knochen, Gelenke und Gelenkknorpel sonstiger und nicht näher bezeichneter Lokalisationen	8	1,9	1	,3	9	1,1
C40	Knochen, Gelenke und Gelenkknorpel der Extremitäten	2	,5	2	,6	4	,5
C77	Lymphknoten	2	,5	1	,3	3	,4
C11	Nasopharynx [Nasenrachenraum]	1	,2	1	,3	2	,3
C31	Nasennebenhöhlen	2	,5	0	.	2	,3
C07	Parotis	1	,2	0	.	1	,1
C16	Magen	1	,2	0	.	1	,1
C30	Nasenhöhle und Mittelohr	1	,2	0	.	1	,1
C32	Larynx	1	,2	0	.	1	,1
C34	Bronchus und Lunge	1	,2	0	.	1	,1
C49	Bindegewebe, Subkutangewebe und sonstige Weichteile	0	.	1	,3	1	,1
Gesamt		432	55,1	352	44,9	784	.

**Histologische Häufigkeitsverteilung**

Bezeichnung	M-Code	N	%	% gesamt
Multiples Myelom	9732/3	689	88,4%	87,9%
Plasmozytom o.n.A.	9731/3	73	9,4%	9,3%
sonstige maligne Histologien		17	2,2%	2,2%
maligne Histologien gesamt		779		99,4%
nicht histologisch gesichert		5		0,6%



Jahr	I	II	III	k.A.	gesamt
1995-2011	310	216	981	342	1849
2012	11	9	44	95	159
2013	17	6	27	92	142
2014	16	11	24	117	168
2015	14	7	21	153	195
2016	9	5	22	140	176
gesamt	377	254	1119	939	2689
%	14	9	42	35	100
1995-2011	16,8%	11,7%	53,1%	18,5%	
2012	6,9%	5,7%	27,7%	59,7%	
2013	12,0%	4,2%	19,0%	64,8%	
2014	9,5%	6,5%	14,3%	69,6%	
2015	7,2%	3,6%	10,8%	78,5%	
2016	5,1%	2,8%	12,5%	79,5%	
gesamt	14,0%	9,4%	41,6%	34,9%	



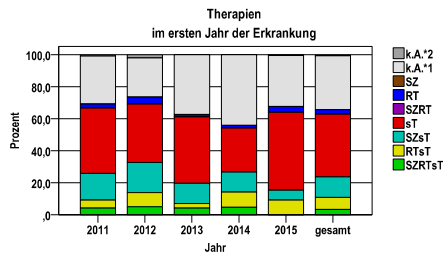
Jahr	positiv	negativ	k.A.	gesamt
1995-2011	75	7	1767	1849
2012	56	7	96	159
2013	59	15	68	142
2014	70	22	76	168
2015	101	24	70	195
2016	81	34	61	176
gesamt	442	109	2138	2689
%	16	4	80	100
1995-2011	4,1%	,4%	95,6%	
2012	35,2%	4,4%	60,4%	
2013	41,5%	10,6%	47,9%	
2014	41,7%	13,1%	45,2%	
2015	51,8%	12,3%	35,9%	
2016	46,0%	19,3%	34,7%	
gesamt	16,4%	4,1%	79,5%	

**Hinweis: Das CRAB-Kriterium als prognostisch relevantes Kriterium löst in der Dokumentation die Einteilung nach DurieSalmon ab.**

**Plasmozytom C90**

**Therapien im ersten Jahr nach Diagnosenstellung\***

Jahr	SZRTsT	RTsT	SZsT	sT	SZRT	RT	SZ	k.A.*1	k.A.*2	gesamt	sT %
2011	5	6	20	49	0	3	0	36	1	120	40,8
2012	8	14	30	58	0	7	0	39	3	159	36,5
2013	6	4	18	59	0	2	0	53	0	142	41,5
2014	8	16	21	46	0	3	0	74	0	168	27,4
2015	0	18	12	95	0	7	0	62	1	195	48,7
gesamt	27	58	101	307	0	22	0	264	5	784	39,2
%	3	7	13	39	0	3	0	34	1	100	.



sT = systemische Therapie  
 RT = Strahlentherapie  
 SZ = Stammzellentransplantation  
 k.A. = keine Angabe

Diagnosejahre
2011 bis 2015

**Stammzellentransplantation im ersten Jahr nach Diagnosenstellung\***

OPS	Anzahl	%	OPS-Schlüssel Version 2015
8-805	128	100,0	Transfusion von peripher gewonnenen hämatopoetischen Stammzellen
gesamt	128	.	

**Systemische Therapien im ersten Jahr nach Diagnosenstellung\***

Beschreibung	Typ	Anzahl	%
Bortezomib, Melphalan, Prednisolon	C	149	30,2
Melphalan	C	130	26,4
Cyclophosphamid	C	106	21,5
Bortezomib	C	82	16,6
Bortezomib, Dexamethason, Doxorubicin	C	68	13,8
Cyclophosphamid, Dexamethason, Doxorubicin	C	66	13,4
Lenalidomid	C	53	10,8
Bortezomib, Cyclophosphamid	C	46	9,3
Melphalan, Prednison	C	31	6,3
Doxorubicin	C	25	5,1
Bortezomib, Dexamethason	C	24	4,9
Bendamustin, Bortezomib, Prednisolon	C	18	3,7
Bendamustin	C	13	2,6
Bendamustin, Prednisolon	C	12	2,4
Bortezomib, Melphalan	C	9	1,8
Bortezomib, Cyclophosphamid, Dexamethason	C	9	1,8
Medikament o. n. A.	C	8	1,6
Dexamethason	C	8	1,6
Melphalan, Prednisolon	C	7	1,4
Dexamethason, Lenalidomid	C	7	1,4
Bendamustin, Bortezomib	C	6	1,2
Bortezomib, Dexamethason, Lenalidomid	C	6	1,2
Dexamethason, Doxorubicin, Lenalidomid	C	5	1,0
Bortezomib	I	85	17,2
Lenalidomid	I	18	3,7
Denosumab	I	8	1,6
gesamt Anzahl der Fälle		493	.

Protokolltyp:  
 CM – Monotherapie  
 CP – Polychemo.  
 C – Chemotherapie o.n.A.  
 IC – Immun-/Chemoth.  
 H – Hormontherapie  
 I – Immuntherapie  
 IU – unspezif. Immunth.  
 IS – spezif. Immunth.

gesamt = Anzahl der therapierten Fälle; Mehrfachnennungen von Therapien sind pro Fall möglich; Prozentzahl bezieht sich auf den Anteil an den systemisch therapierten Gesamtfällen

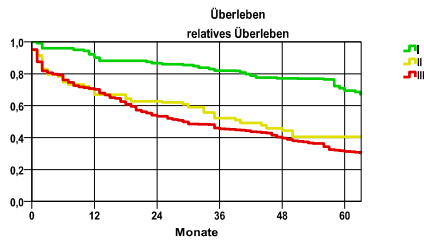
\*Bei Eintritt eines Rezidivs werden weitere Therapien nicht ausgewiesen.

Diagnosejahre
2008 bis 2013

**5-Jahres-Überleben nach DurieSalmon-Stadium**

Stadium	beob. Überl.	rel. Überl.	95%-KI ±	N	zens. %
I	60,1	69,4	10,4	91	14,3
II	34,9	40,5	12,4	57	3,5
III	26,2	31,4	5,1	290	4,8

nur Ersterkrankungen



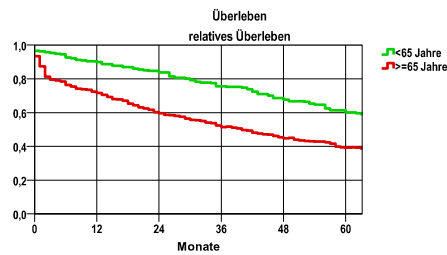
**mediane Überlebenszeit**

I	>5,0 Jahre
II	3,3 Jahre
III	2,4 Jahre

**5-Jahres-Überleben nach Altersgruppen**

Altersgruppe	beob. Überl.	rel. Überl.	95%-KI ±	N	zens. %
<65 Jahre	57,8	60,1	6,9	207	15,5
>=65 Jahre	31,0	39,2	4,2	496	8,3

nur Ersterkrankungen



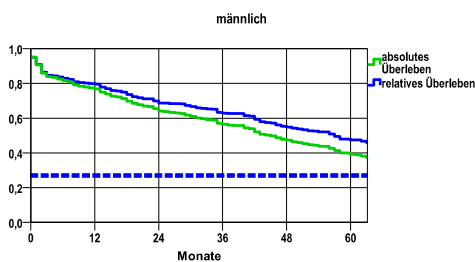
**mediane Überlebenszeit**

<65 Jahre	>5,0 Jahre
=65 Jahre	,3 Jahre

**Überleben gesamt, männlich**

Jahr	beob. Überl.	rel. Überl.	95%-KI ±	N	zens. %
1	76,8	79,5	4,2	384	,0
2	64,1	68,7	4,8	.	,0
3	56,5	62,9	5,0	.	,0
4	47,3	54,8	5,0	.	2,6
5	39,3	47,5	5,0	.	12,2

nur Ersterkrankungen



**mediane Überlebenszeit**

4,7 Jahre

**Vergleichswert - - - - , 5-Jahres-Überleben (%)**

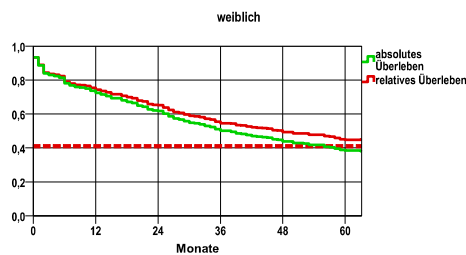
RKI, BRD 2011-2012, niedrigster Wert, männlich 27,0

verwendete Sterbetafel:
Sachsen 1995-2011

**weiblich**

Jahr	beob. Überl.	rel. Überl.	95%-KI ±	N	zens. %
1	72,4	74,4	4,9	319	,0
2	61,8	65,2	5,3	.	,0
3	50,2	54,6	5,5	.	,0
4	43,9	49,3	5,4	.	2,5
5	38,5	44,8	5,4	.	8,2

nur Ersterkrankungen



**mediane Überlebenszeit**

3,9 Jahre

**Vergleichswert - - - - , 5-Jahres-Überleben (%)**

RKI, BRD 2011-2012, niedrigster Wert, weiblich 41,0